

$C_7F_3NO_2$

2Б38. Определение молекулярных структур CF_3NO_2 и CBr_3NO_2 электронографическим методом. Karle I. L., Karle J. Determination of the molecular structures of CF_3NO_2 and CBr_3NO_2 by electron diffraction. «J. Chem. Phys.», 1962, 36, № 8, 1969—1973 (англ.)

1962

Электронографически сектор-микрофотометрич. методом исследованы мол. структуры CF_3NO_2 (I) и CBr_3NO_2 (II) в парах. При расшифровке электропограмм методом радиального распределения и методом последовательных приближений получены следующие результаты. В парах I присутствуют два поворотных изомера типа этана (если учитывать одно незанятое место вокруг ядра азота) с шахматной и затененной конфигурациями ядер в соотношении 2:1. Группа CNO_2 неплоская, причем угол γ между каждой из связей N—O и плоскостью, в которой расположена центральная связь C—N, составляет $9^\circ 35' \pm 1^\circ$. Для молекулы I найдены следующие значения межъядерных расстояний (A), среднеквадратичных амплитуд колебаний (в скобках, Å) и валентных углов: N—O $1,21 \pm$

Синтимура

близ

2. 1963.2.

$\pm 0,01$ ($0,050 \pm 0,005$); C—N $1,56 \pm 0,02$; C—F $1,325 \pm$
 $\pm 0,005$ ($0,050 \pm 0,005$); O—O $2,21 \pm 0,01$ ($0,067 \pm$
 $\pm 0,007$); C—O $2,30 \pm 0,01$ ($0,067 \pm 0,007$); N—F $2,35 \pm$
 $\pm 0,01$ ($0,067 \pm 0,007$); F—F $2,17 \pm 0,01$ ($0,057 \pm 0,007$);
O—F $2,57 \pm 0,015$ ($0,084 \pm 0,01$), O—F $2,88 \pm 0,015$
($0,084 \pm 0,01$), O—F $3,38 \pm 0,015$ ($0,084 \pm 0,01$) (шах-
матная конфигурация ядер, соответствующие расстоя-
ния O—F для затененной конфигурации ядер равны
2,48, 3,04 и 3,31); $\angle FCF 110^\circ$; $\angle FCN 109^\circ$; $\angle ONO 132^\circ$,
 $\angle CNO 112^\circ$. В парах II присутствует лишь один по-
воротный изомер с шахматной конфигурацией ядер.
Группа CNO₂ также исплоская, причем угол $\gamma = 8^\circ$
 $33' \pm 1'$. Для молекулы II найдены следующие значе-
ния межъядерных расстояний (A), среднеквадратич-
ных амплитуд колебаний (в скобках, A) и валентных
углов: N—O $1,22 \pm 0,01$ ($0,050 \pm 0,005$); C—N $1,59 \pm 0,02$;
C—Br $1,92 \pm 0,007$ ($0,056 \pm 0,005$); O—O $2,24 \pm 0,02$
($0,070$); C—O $2,33 \pm 0,02$ ($0,070$), N—Br $2,86 \pm 0,01$
($0,062 \pm 0,007$); Br—Br $3,15 \pm 0,01$ ($0,089 \pm 0,007$); O—
—Br $2,88 \pm 0,01$ ($0,069 \pm 0,007$); O—Br $3,31 \pm 0,015$
($0,069 \pm 0,007$); O—Br $3,92 \pm 0,015$ ($0,069 \pm 0,007$);
 $\angle BrCBr 110^\circ 18'$; $\angle BrCN 108^\circ 18'$; $\angle ONO 134^\circ$; $\angle CNO$
 $110^\circ 40'$.

B. Смирнов

1962

12 В103. Определение молекулярной структуры CF_3NO_2 и CBr_3NO_2 методом дифракции электронов.
 Кагле I. Л. Кагле J. Determination of the molecular structures of CF_3NO_2 and CBr_3NO_2 by electron diffraction. «J. Chem. Phys.», 1962, 36, № 8, 1969—1973
 (англ.)

Возможны четыре различные конформации молекулы CX_3NO_2 с заторможенным вращением, отличающиеся относит. расположением групп CX_3 и NO_2 и строением самой нитрогруппы. Для определения их строения применен метод дифракции электронов с использованием количеств. метода секторного микрофотометра. Кривые интенсивности и радиального распределения вычислены для каждой из возможных конформаций обеих молекул, включая и случай свободного вращения. Сопоставление этих кривых с экспериментальными позволило установить, что молекула бромопикрина имеет свернутую конформацию, аналогичную конформации этановых соединений, а молекула фторопикрина существует в свернутой и затменной конформациях. Составлена

1962. 12B

см. № 103

таблица всех найденных межатомных расстояний, средних квадратичных амплитуд колебаний и валентных углов. Длина связи C—N в бромо- и фторопикрине равна 1,59 и 1,56 Å. Углы ONO равны 134° и 132°. Строение нитрогруппы почти такое же, как и молекулы NO₂. Группа —CNO₂ неплоская. Высота потенц. барьера внутреннего вращения оценена в 3 ккал/моль.

М. Ковнер

1963

F₃CNO₂
Br₃CNO₂
C₆H₅NH₂

Electron-diffraction studies and excitation processes in molecules. J. Karle. *Rept. NRL* (Naval Res. Lab. (U.S.)) *Progr.* April, 1963, 1-12. In electron-diffraction methods, exptl. sepn. can be made of electrons undergoing elastic collisions from those involving electron energy losses and mol. excitations. The app. of Swick (*CA* 55, 12949e) was modified. The electrons are emitted from a hot filament and are accelerated to 40 k.e.v. in a vacuum of $\leq 10^{-4}$ mm. Hg. The sample gas is injected perpendicular to the electron beam between the focussing lens and the photographic plate, and a diffraction pattern is obtained in a fraction of a sec. The gas jet is caught in a cold trap after having crossed the electron beam. The radial distribution curve for benzene shows 3 different C-C distances and C-H distances. For unstable compds., such as F₃CNO₂ and Br₃CNO₂, the C-N distances are ~10% longer than in other compds. and the CNO₂ atoms are nonplanar. Shortened chem. bonds as in Freon are correlated with chem. stability. In the

C.A. 1963-59.3

2173 gh-2174a

picryl halides, the potential barrier hindering rotation of the CF_3 group is much weaker for the CBr_3 group. In Cl_3CCl_3 , the barrier for rotation about the C-C bond is $\sim 10,000$ cal./mole, and in F_3CCF_3 it is ~ 4000 cal./mole. In $\text{Cl}_2\text{SiSiCl}_3$, the barrier hindering rotation about the SiSi bond is ~ 1000 cal./mole. The gas-collision energy losses of the electrons are only a few e.v. The limit of resolution of the app. is 0.3 v. Some results for Br_2 , CCl_4 , and C_6H_6 are discussed. These results were obtained by modifying an electron-diffraction app. to separate out inelastic scattering. The results are compared to theory, and equations are developed; the exptl. points fall close to the theoretical curves.

Manfred Mannheimer

1901

1953

CH_3NO_2 ; CH_2NO_2 (S_{α} , L)

Нарле Л.Б., Аарле д.

Determination of the molecular
structures of CH_3NO_2 and CH_2NO_2 by
electron diffraction. "J. Chem. Phys.",
1962, 35, N 8, 1969-1973 (англ.)

ДК. 1063, 2, Б33

CNF_3O_2

CF₃NO₂

1965

Electron diffraction of trifluorornitrosomethane. M. I. Davis, J. E. Boggs, D. Coffey, Jr., (Univ. of Texas, Austin), and H. P. Hanson. *J. Phys. Chem.* 69(11), 3727-30(1965)(Eng). The mol. structure of trifluorornitrosomethane was detd. by gas-phase electron diffraction. The predominant conformation is eclipsed. The principal structure parameters are: $r(\text{C}-\text{F}) = 1.321 \pm 0.004 \text{ \AA}$, $\angle \text{FCF} = 111.9 \pm 0.4^\circ$, $r(\text{C}-\text{N}) = 1.55 \pm 0.01 \text{ \AA}$, $r(\text{N}-\text{O}) = 1.171 \pm 0.008 \text{ \AA}$, $\angle \text{CNO} = 121.0 \pm 1.6^\circ$. The fact that the C-N bond is appreciably longer than the value observed in amines is consistent with the results of investigations of certain other nitro and nitroso compds. It would appear that many of the structural features of this compd. are consistent with an appreciable shift of charge in the direction of the F atoms. The C-N bond direction differs from the CF₃ axis by $\sim 1^\circ$.

RCKG

C.A. 1965 63 L3
17171 h - 17172a

1965

B93 - M 1169-IV

CF₃NO₂

микро-
волнистый
спектр
(но)

CF₃NO₂

9.1966. IV

4 Д446. Микроволновый спектр и барьер внутренне-го вращения в трифторнитрометане. Tolles W. M., Handelman Eileen Tannenbaum, Gwinne William D. Microwave spectrum and barrier to internal rotation in trifluoronitromethane. «J. Chem. Phys.», 1965, 43, № 9, 3019—3024 (англ.)

Наблюден мироволн. спектр CF₃NO₂ для переходов от $J=1 \rightarrow 2$ до $J=4 \rightarrow 5$. Данна интерпретация 35 линий и измерен эффект Штарка для 3 линий этих переходов. Из штарковского расщепления для перехода $4 \rightarrow 5$ определены барьер внутреннего вращения ($74,4 \pm 5$ кал/моль) и дипольный момент ($1,44 \pm 0,03$ ед. Дебая).

Microwave spectrum and barrier to internal rotation in trifluoroniromethane. W. M. Tolles (U.S. Naval Postgraduate School, Monterey, Calif.), Eileen Tannenbaum Handelman, and William D. Gwinn. *J. Chem. Phys.* 43(9), 3019-24(1965)(Eng). The microwave spectrum for CF_3NO_2 was observed for the $J = 1 \rightarrow J = 2$ through the $J = 4 \rightarrow J = 5$ transitions. Some 35 lines in these transitions are assigned, and the Stark effects for 3 of these were studied quant. and interpreted. A discrepancy in the Stark effect of a $4 \rightarrow 5$ transition can be accounted for by adjusting properly the 6-fold barrier to internal rotation. The parameters used to obtain the best fit for the spectrum are the following: $B + C = 4917.4 \pm 0.4$, $B - C = 453.9 \pm 5$, $A(\text{NO}_2) = 13,205 \pm 150$, $A(\text{CF}_3) = 5700$ Mc./sec. (assumed), $V_6 = 780,000$ Mc./sec. = 74.4 ± 5 cal./mole. The dipole moment obtained from the Stark-effect measurements is 1.44 ± 0.03 D.

RCJQ

C.A. 1965. 63.13
19340a

1965
B60-#H169-IV

CF_3NO_2

(и. н.)

и. о.)

CNF_3O_2

Bsp-1169-IV

1965

2 Б177. Микроволновый спектр и барьер внутреннего вращения в трифторнитрометане. Tolles W. M., Nadelman Eileen Tappenbaum, Gwinn William D. Microwave spectrum and barrier to internal rotation in trifluoronitromethane. «J. Chem. Phys.», 1965, 43, № 9, 3019—3024 (англ.)

Исследован микроволновый спектр CF_3NO_2 для всех переходов от $J=1 \rightarrow J=2$ до $J=4 \rightarrow J=5$. Дано отнесение для 35 линий, а для 3 из них исследовано штарковское расщепление. Получены след. значения вращательных постоянных (в $M\text{гц}$): $B+C=4917,4 \pm 0,4$; $B-C=453,9 \pm 5$; $A(\text{NO}_2)=13205 \pm 150$. Определена величина барьера внутреннего вращения относительно связи CN: $v_6 = 74,4$ кал/моль. Дипольный момент, полученный на основании измерений штарковского расщепления, равен $1,44 \pm 0,03$ D.

И. Милевская

Х. 1967. 2

1966

Valence force field of CX_3YZ_2 and the vibrational spectra of CF_3NO_2 , CCl_3NO_2 , and CBr_3NO_2 . Alexander H. Castelli (Propellants Lab., Picatinny Arsenal, Dover, N.J.), Ann Palm, and Chester Alexander, Jr. *J. Chem. Phys.* 44(4), 1577-84 (1966)(Eng). Sets of valence-type potential-energy consts. for CF_3NO_2 , CCl_3NO_2 , and CBr_3NO_2 were detd. by using a min. of 98% agreement between each calcd. and observed vibrational frequency as a criterion, by imposing constraints inferred from data on other mols. and by maintaining a consistency expected from the related nature of these 3 mols. C_2v symmetry was used to factor the secular equations. The sensitivity of the potential energy consts. to variations in the structure of the CNO_2 framework is examd. The applicability of a relation proposed previously between the electronegativity of the CX_3 group, changes in the ONO angle, and the strengths and s-orbital character of the NO bonds is examd. An empirical relation, $\Delta\omega = 74.0 \epsilon$, is suggested by the behavior of the NO_2 symmetric deformation frequency with changes in the electronegativity of the halogen atoms.

RCJQ

C. A. 1966

64. 8

10584 ac

1390-41264-1V

18

M 1264

1966

ν_i (CF_3NO_2 , CCl_3NO_2 , CBr_3NO_2)

Castelli A., Palm A., Alexander Ch.

J.Chem.Phys. 1966, 44, N 4, 1577-1584

Valence force field of CX_3YZ_2 and the
vibrational spectra of CF_3NO_2 ,

CCl_3NO_2 and CBr_3NO_2

PX., 1966, 176126

J

F

1974

CNO₂

F₃ класс-спектроскопическое исследование
процессов фотомодификации тем-
пературного метода и его замену про-
цессом.

Гоманов В.К., Денис И.И.

"Химия высоких энергий" 1974, 8,
N3, 286-287.

x. 1974 N17.

(ав. C(NO₂)₄; III)

50423.7307
Ch, Ex-C, TC

22009

1974

CF_3NO_2

* 4-8659

Vizi_B., Cyvin B.N., Cyvin S.J.

Mean amplitudes of vibration for
 CH_3NO_2 , CF_3NO_2 , CCl_3NO_2 , and CBr_3NO_2 .

"Acta chim.Acad.sci.hung.", 1974(1975),
83, N 3-4, 303-308

(англ., рез. рус.)

(чи. CH_3NO_2 / III /)

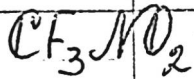
0344. ник

ВИНИТИ

330 332

РД 90

оттиск 3196 1975



Библиотека
Гражданской

16 Б79. Внутреннее вращение в молекулах с тяжелыми волчками и низкими барьерами: расчет уровней энергии. Ogata Teguhiko. Internal rotation in low barrier, heavy-top molecules: calculation of energy levels. «J. Mol. Spectrosc.», 1975, 54, № 2, 275—284 (англ.)

Разработан алгоритм расчета уровней энергии внутреннего вращения в молекулах с низкими барьерами и тяжелыми волчками, такими как CF_3NO_2 или SiF_3BF_2 . Отмечено, что трудности расчета микроволновых спектров подобных молекул (торсионных собственных значений и ф-ций, вращат. уровней и собственных ф-ций, частот переходов и их относит. интенсивностей, а также коэф. Штарка) обусловлены низкими значениями приведенного барьера (s). Между тем высота 6-кратного барьера может быть достаточно большой (74 ± 5 кал/моль в CF_3NO_2), однако значение s снижается

X 1975 N 16

+1

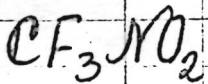
☒

из-за большой массы волчка. Анализ основан на простейшем варианте метода внутренних осей, т. е. предполагалось, что ось внутреннего вращения совпадает с одной из главных осей. Показано, что для этого случая матрицу энергии удается факторизовать с учетом торсионных и торсионно-вращат. членов взаимодействия в гамильтониане. Факторизация существенно облегчает расчет высоких J -уровней и позволяет использовать МНК при обработке данных микроволновых спектров. На основе предложенного алгоритма составлена программа для ЭВМ, позволяющая рассчитывать уровни энергии и др. параметры спектров молекул с 6-кратными барьерами вращения промежут. величины (порядка нескольких десятков кал/моль).

Ещё

В. Г. Дащевский

January 3196 1975



(V_0)

177331c Internal rotation in low-barrier, heavy-top molecules. Calculation of energy levels. Ogata, Teruhiko Dep. Phys. Chem., Univ. Bristol, Bristol, Engl.). *J. Mol. Spectrosc.* 1975, 54(2), 275-84 (Eng). A computer program was written in FORTRAN IV for calcg. the energy levels for internal rotation in a low-barrier heavy-top mol., such as CF_3NO_2 . Mols. of this type are expected to exhibit microwave spectra of intermediate barrier type because the presence of a heavy internal-top increases the reduced barrier height. The treatment is based on the simplest internal-axis method of an asym.-top mol., i.e., where the internal rotation axis coincides with 1 of the principal axes. The energy matrix can be factorized into the eigenstates of the torsion and torsion-rotation interaction Hamiltonian. This factorization greatly facilitates the calcn. of high- J levels and the application of a least-squares fitting technique to obsd. microwave spectra. The output of the program gives the torsional eigenvalues and eigenfunctions, the rotational levels and eigenfunctions, transition frequencies together with relative intensities, and 1st-order Stark coeffs. This program can be applied to all ranges of barrier height, esp. for an intermediate barrier case.

C.A. 1975. 82. N26

CF₃NO₂

1976

M.N.

88: 81276m Evaluation of the precision of various methods for calculating microwave spectra of molecules with internal rotation of a methyl group or its analog. Natanzon, G. A. (USSR). *Tezisy Dokl. - Simp. Mol. Spektrosk. Vys. Sverkhvys. Razresheniya*, 3rd 1976, 105-7 (Russ). Edited by Lopasov, V. P. Akad. Nauk SSSR, Sib. Otd., Inst. Opt. Atmos.: Tomsk, USSR. The accuracy of various methods for calcg. the microwave spectra of mols. with internal rotation of the Me group or its analog was tested for PhMe, fluorotoluene, PhSiH₃, 4-methylpyridine, 5-methylpyridine, and CF₃NO₂.

C.A., 1978, 88, N12

1993

CF₃NO₂

119: 279319e Vibration-internal rotation coupling in trifluoromethane. Tolles, W. M. (Naval Res. Lab., Washington, DC 20375-5321 USA). *J. Chem. Phys.* 1993, 99(8), 5718-22 (Eng). The barrier to internal rotation for CF₃NO₂ has previously been detd. in the early 1960s by two independent methods (1) electron diffraction; and (2) rotational microwave spectroscopy. These two methods have indicated the barrier to rotation to be 3 kcal/mol and 74 cal/mol, resp. This discrepancy has not been resolved in 25 yr. In an attempt to explain this discrepancy, a model has been developed to incorporate the effects of coupling between the internal rotation motion and the vibration of the NO₂ group. This coupling appears to be present based on symmetry considerations and based upon geometries obtained from electronic calcns. of the mol. Both electron diffraction radial distribution curves and rotational microwave spectra are simulated and compared with exptl. data. A surprising result indicates that the coupling between internal rotation and the vibrational motions may be strong, but minimally visible in the rotational spectrum. Such coupling can introduce interat. correlation which affects the appearance of diffraction expts., yet is not apparent in microwave spectra. This model is consistent with the behavior obsd. by the two methods, and is offered as the explanation for the otherwise contradictory interpretations.

(V₂, p. 2121)

C. A. 1993, 119, N 26

1996

F: CF₃NO₂

P: 3

47.13Б171. Динамика внутреннего вращения трифтормонитрометана и родственных соединений. [Неэмпирическое исследование методом МП2]. Internal rotation dynamics of trifluoromethane and related compounds /

Stephenson Ernest H., Macdonald John N. // J. Mol. Struct. - 1996. - 376. -
C. 39-49. - Англ.

РНДХ 1997